

現場剪断強度の測定に基く表層崩壊の研究

京都大学農学部 丸井英明・武居有恒・小橋澄治・佐々木二

1. はじめに 崩壊に関する研究は従来から数多く行われているがその大半は地形的、地質学的研究であり、それは崩壊の全般的な特性や背景に関する知見を与えるものと考えられる。それに對して崩壊の機構に立入って議論するためには土質工学的な理解が必要となるがその様な研究は極めて少なかった。それは崩壊機構を議論するのに不可欠な土層の剪断強度を把握することが困難なことによる。そこで問題となるのは表層土層に対する低い拘束圧下での剪断試験を行なうことと、不飽和状態と飽和状態での強度の変化を適確に評価することである。以下六甲山地マサカ土沈成の崩壊について斜面表層部土層の剪断強度を測定しそれでに基いて崩壊の過程を検討した結果を述べる。

2. 自然斜面の安定解析法 斜面の安定解析法は人工の盛土斜面に関しては一応の手法が確立している。それは深さ方向に土層構造が変化しないことを前提としてあり、従って強度定数 C_s , ϕ も一定として、同一深度から採取した数個のサンプルに対して異なる拘束圧のを載荷して剪断試験を行なって得られた一組の C_s , ϕ を用いて解析するやり方である。その様な方法は深度によつて土層構造が異なる自然斜面の場合には不適当である。自然斜面表層土層の剪断強度の分布の例を図1に示す(飽和)。同じ土層の強度定数 C_s , ϕ の深度による相異を図2に示す(不飽和時と飽和時の C_s , ϕ を示したものである。深度によつて C_s , ϕ が異なることは明らかである。表層崩壊の場合は崩壊深に比して崩壊長が大きいので無限長斜面の安定問題として取り扱い、斜面勾配に平行な滑り面上に作用する剪断力 S と剪断抵抗力 T の大小を比較することになる。土層が飽和し地下水面が地表面と一致する場合の ϕ とては、土の密度 γ 、強度定数 C_s , ϕ が深さとの関数であるので、

$$S = \int_0^z \gamma(z) dz \cos\beta \sin\beta, \quad T = C_s(z) + \int_0^z (\gamma(z) - \gamma_b) dz \cos\beta \cdot \tan\phi$$

と表わされる。図6、7は上式に基いてかつ地下水面の位置を変化させた時の ϕ とての分布を示したものである。いずれの場合にも水面の上昇に伴つては低下して行つている。図6では水面が40cm程度に達した時深度60cm位で ϕ を下回りその附近で崩壊することになる。図7では40cm程度に水面が達した時深度80~90cm位で崩壊することになると考えられる。一方図8は鉛直土層圧一定の状態で斜面勾配を変化させた時の各深度毎の安全率 $F = T/S$ の変化を示したものである。安全率の変化に対して斜面勾配がそれ程顕著には効いていないことがわかる。

3. 不飽和時と飽和時の強度特性の差異 図3は同一深度における飽和時と不飽和の C_s , ϕ を示したものである。飽和時の拘束圧力は間隙水圧が作用する分だけ小さい。結果を見ると ϕ については余り変化しておらず、不飽和と飽和との強度の差異は主として見掛け上の C_s 成分の差異として表われている。それは不飽和の土中に作用する suction による有効応力の増分の効果であると考えられる。図4は異なる乾燥密度での含水量の変化に伴う suction の変化を示したものである。図5は不飽和時と飽和時との剪断抵抗力の分布の差異を示したものである。不飽和時と飽和時の強度の差 ΔC_s のうち ΔC_s が間隙水圧の作用による応力の差異に基くものであり、 ΔC_{uw} が不飽和時に作用する suction に基く強度の増分であると考えられる。

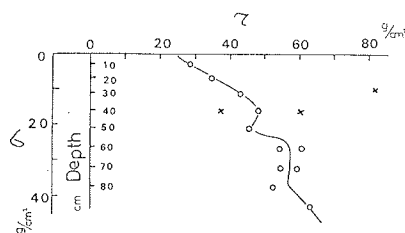


図-1 崩壊斜面③ 剪断強度の分布

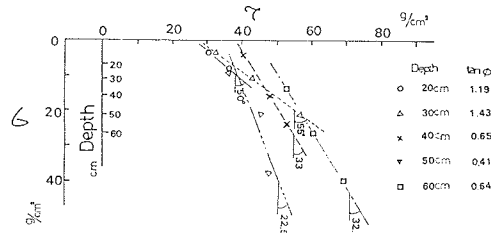


図-2 崩壊斜面③ 強度定数の分布

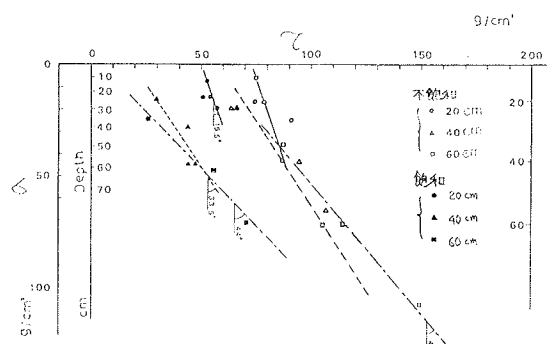


図-3 崩壊斜面④ 不飽和時と飽和時の強度定数の差異

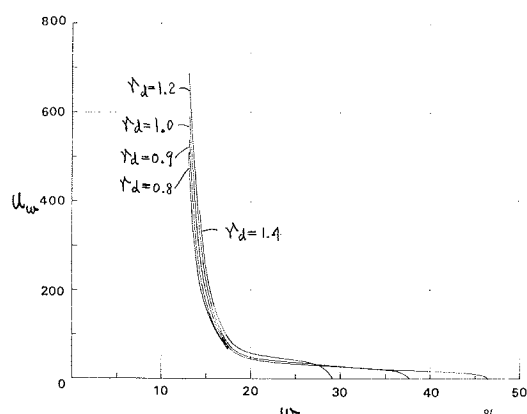


図-4 マサ土の suction-含水比関係

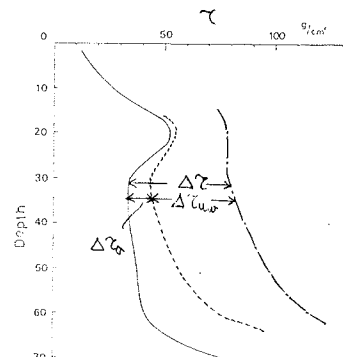


図-5 含水状態の変化に伴うての変化

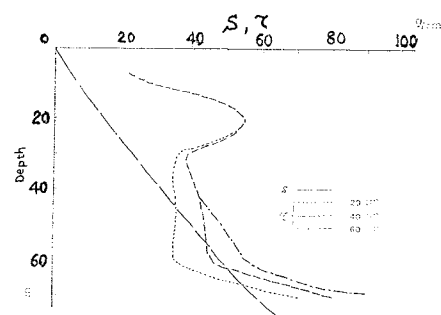


図-6 崩壊斜面④ 地下水面変化に伴うての変化

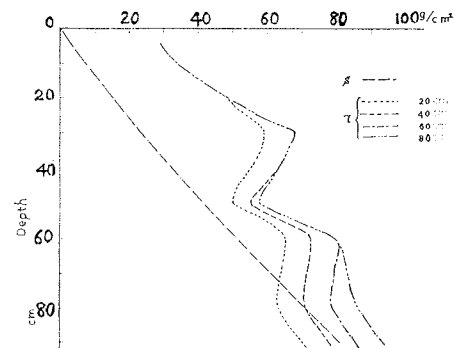


図-7 崩壊斜面③ 地下水面変化に伴うての変化

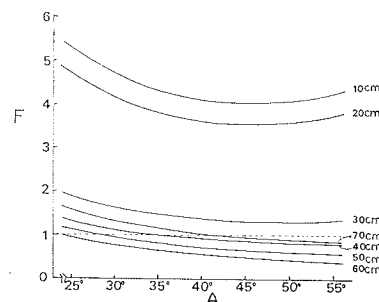


図-8 勾配変化に伴う安全率の変化